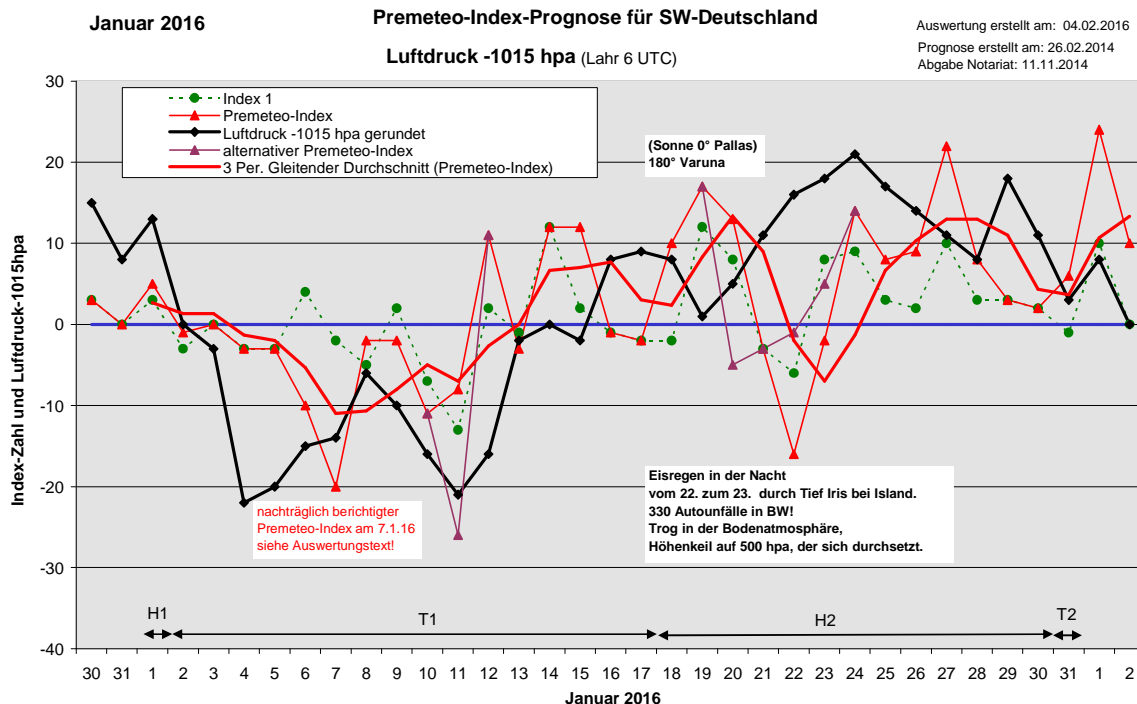


## Wetterlagenverlauf Januar 2016 im Vergleich zur Premeteo-Indexprognose für Südwest-Deutschland

(Im Diagramm sind über der Datumsachse die real eingetreten Hoch- und Tiefdruckphasen durch Doppelpfeile eingetragen. Ausschlaggebend für die Evaluation ist der tägliche Premeteo-Index, in der dünneren, roten Linie mit Dreieckspunkten dargestellt. Ein negativer Premeteo-Index zeigt die Wahrscheinlichkeit für eine zyklonale Tiefdruckströmung, ein positiver Premeteo-Index die Wahrscheinlichkeit für eine antizyklonale Hochdruckströmung an.

Die Wetterlagenbeschreibungen wurden anhand der Berliner Wetterkarten erstellt. Ausschlaggebend ist die Europa-Bodenkarte um 0 UTC, die feiner skalierte 12 UTC-Karte von Mitteleuropa wird nur bei einem Wetterlagenwechsel für die Einordnung des Tages hinzugezogen. Am Ende des Dokuments befinden sich die Tabellen und Konstellationen, die dem Diagramm zugrunde liegen.)



**Hochdruckphase 1:** Am ersten Tag des Jahres setzte sich noch die Hochdruckphase der letzten Dezemberdekade fort, wobei die Kerne der Hochdruckzone über der Iberischen Halbinsel und über Frankreich lagen. Der Premeteo-Index hatte den Wert +5.

**Tiefdruckphase 1:** Tief Gerd hatte sich am 2. Januar mit seinem Kern über dem Atlantik südlich von Irland befunden, dehnte seinen Isobarenbereich bis nach Südwestdeutschland aus und brachte Niederschlag. Am 3. lag sein Kern über SO-England und auch über dem Golf von Genua hatte sich ein Tief etabliert. Am 4. war bereits Tief Helmut nachgerückt, hielt mit seinem Kern bei Irland den Luftdruck auf niedrigem Niveau und brachte ausgiebigen Regen, in höheren Lagen auch Schnee. Tief Helmut etablierte sich bis zum 6. über England. Am 7. erreichte Tief Britta II mit seinem Kern Irland und dehnte sich ebenfalls bis über unsere Region aus. Es gab reichlich Niederschlag und gegen 15 Uhr wurde der tiefste Druck erreicht. (Für diesen Tag musste eine Berichtigung des Premeteo-Index durchgeführt werden. Bei der Prognose war in der Symmetrie-Zeile der Tabelle am 7. Januar vergessen worden die Punktzahl -14 der Symmetrie Hau 46 Ven Orc (22) T T\* T vom 6. Januar auf den 7. Januar zu übertragen. D.h. die -6 Punkte des Premeteo-Index mussten auf -20 berichtigt werden. Symmetrien oder auch Aspekte nach 12 UTC bzw. nach 16 UTC bei Merkur, Venus, Sonne oder Mars als Symmetrie- oder Aspektkörper, werden gemäß der Prognoseregeln immer erst am Folgetag angerechnet!) Am 8. schwächte sich die Zyklonalität über der Region zunächst etwas

ab und es kam zu Aufklarungen. Am Nachmittag fiel der Luftdruck erneut und dichte Bewölkung zog auf, dennoch hatte sich auch am 9. die Atmosphäre zwischen Tief Brita I-Carolina über dem Atlantik und einem flachen Hoch über dem Nordostbalkan etwas stabilisiert. Es blieb dicht bewölkt, aber weitgehend niederschlagsfrei. Am 10. war es Tief Carolina, das sich über Großbritannien vertiefte, sich am 11. mit einem weiteren Kern Daniela über Südwestfrankreich verstärkte und über ganz Europa reichte. Gegen 15 Uhr wurde in der Region der tiefste Luftdruck erreicht. Zum 12. stieg der Premeteo-Index für einen einzelnen Tag steil in den positiven Bereich, aber Tief Carolina über der Nordsee und am 13. über Norddeutschland blieb weiter wetterwirksam. Der 12. Januar 2016 war somit der erste Fehlprognosestag des Jahres. Am 14. kletterte um 0 UTC der Luftdruck im Einklang mit dem Premeteo-Index über die Nulllinie, fiel aber in den folgenden Stunden wieder rasch ab. Es gab sowohl starke H-Aspekt-Impulse wie Merkur 30° Ceres Hf und Pallas 30° GaZ Hf\*, aber auch T-Aspekt-Impulse wie Ceres 90° Sedna T\* und Sonne 90° Haumea T, verbunden mit der Konjunktion durch den rückläufigen Merkur. Die Konfrontation der gegensätzlichen Impulse war begleitet durch kräftige Schneefälle, die sich am 15. bei wieder leicht steigendem Luftdruck durch Tief Emma über den Niederlanden verstärkten. Der 14. und 15. waren somit als Fehlprognosestage zu verzeichnen. Tief Emma wanderte nach Osteuropa und bestimmte zusammen mit Tief Gudrun auch am 16. mit weiteren Schneefällen das Winterwetter. Der Druck stieg kräftig an und über dem Ostatlantik dehnte Hoch Benno seinen Isobarenbereich über die Iberische Halbinsel und Frankreich aus. Trotz des relativ hohen Luftdrucks bestand selbst am 17. über West- und Südwestdeutschland noch eine ganz schmale und flache Tiefdruckzone zwischen der 1025-hpa-Isobare des Hochs Benno über der Biskaya und der 1025-hpa-Isobare eines Hochs mit Kern über Polen. Den ganzen Tag kam es immer wieder zu Schneeschauern aus Cumulonimben, die tief herunter reichten und kurzzeitig alles in ein Schneegestöber hüllten. Erst am Nachmittag stieg der Druck weiter an. Der Premeteo-Index summierte auf -31.

**Hochdruckphase 2:** Hoch Benno befand sich am 18. um 0 UTC über Deutschland und verlagerte bei Venus 90° Jupiter und Mars 45° Jupiter seinen Kern rasch nach Osten über Österreich. Der Luftdruck fiel deutlich ab, doch verblieb die Region flach im Isobarenbereich von Hoch Benno. Am 20. übernimmt Hoch Claudius über dem Ärmelkanal die Regie und zieht mit seinem Kern am 21. über Deutschland. Am 21. war der Premeteo-Index schon auf -3 gefallen, während sich der geglättete Index noch im positiven Bereich bewegte. Doch auch am 22. kam Tief Iris über dem Nordostatlantik nur langsam nach voran. Der Premeteo-Index hatte einen Wert von -16 durch den Tf-Aspekt Venus 150° Varuna, der im Index 1 und in den Symmetrien auftrat, als auch im Index 3 Varuna 150° Quaoar auslöste. Aber die Sonne stand mit Sonne 120° GSZ H dagegen, dies macht sich auf 500 hpa bemerkbar, wo die Region in den Übergangsbereich zwischen der antizyklonalen Strömung im Westen und der zyklonalen Strömung im Nordosten zu liegen kam. Am 23. um 0 UTC befand sich die Region dann eindeutig unter einem Höhenkeil von Nordost-Afrika auf 500 hpa, während am Boden der Trog von Tief Iris, das seinen Kern nach Island zurückgezogen hatte, über ganz Deutschland reichte. Es kam in der Nacht vom 22. zum 23. zu Eisregen mit 330 Autounfällen in Baden-Württemberg, aber schon die Mittag-Bodenkarte zeigte die Region im Isobarenfeld von Hoch Dietrich, das sich mit seinem Kern von der Biskaya nach Südwestdeutschland verlagerte. Am 23. hatte der Premeteo-Index einen Wert von -2, aber es gab einen alternativen Index von +5 und auch Index 1 hatte +8 Punkte. Zum 24. stieg der Premeteo-Index wieder steil an, was in Übereinstimmung war mit der Verstärkung der Hochdruckwetterlage. Der Kern des Hochs, das unser Wetter bestimmte, lag am 25. über dem Tyrrhenischen Meer und

holte wieder das mediterrane Wetter zurück, das schon den ganzen Dezember 2015 bestimmt hatte. Am 26. lag der Kern von Hoch Dietrich über Ostfrankreich und entfernte sich am 27. ins nördliche Mittelitalien. Zugleich war Tief Leonie bei Irland angelangt und auf 500 hpa hatte sich der Hochdruckkeil stark abgeflacht, so dass am 27. verstärkt graue Wolken aufzogen und sich verdichteten. Tief Leonie lag am 28. um 0 UTC über Südsandinavien und hatte seinen Isobarenbereich über ganz Deutschland ausgedehnt, doch bis Mittag setzte sich das Hoch vom Atlantik bereits erneut bis in unsere Region durch, so dass dieser Tag auch wieder als überwiegend antizyklonal eingestuft werden konnte. Das Azorenhoch ließ am 29. den Luftdruck noch mal kräftig ansteigen und bestimmte auch am 30. noch die Strömung. Doch hatte sich über dem Nordmeer das Tief Marita so verstärkt, so dass es zwischen Tief Marita und dem Azorenhoch zu einer starken Verdichtung der Isobaren kam mit entsprechend hohen Windgeschwindigkeiten, die auf den Schwarzwaldhöhen zeitweise Orkanstärke erreichten. Der Premeteo-Index summierte über die 13-tägige Hochdruckphase auf +85.

**Tiefdruckphase 2:** In der Nacht vom 30. zum 31. setzte sich Tief Marita mit lokal starken Regen- und Schneefällen für einen Tag durch, so dass der letzte Tag des Januar, der einen flachen Premeteo-Index von +6 Punkten hatte, als Fehlprognose tag eingestuft werden musste.

### **Zusammenfassung:**

Der Januar 2016 war mit 24 richtig und 7 falsch prognostizierten Tagen bezüglich der zyklonalen oder antizyklonalen Strömungsphasen ein erfolgreicher Prognosemonat gewesen. Im Diagramm (siehe Link weiter unten) wird besonders die fehlende Reaktion des Luftdrucks auf das Index-Minimum am 22. auffällig. Tatsächlich hatte in der Bodenatmosphäre ein Trogdurchgang stattgefunden, während sich in der Höhe auf 500 hpa ein Höhenkeil ausbildete. Der starke Tiefdruckaspekt von Venus 150° Varuna stand vor allem den beiden Hochdruckaspekten von Merkur 0° Pluto und Sonne 120° GSZ gegenüber. Die Nacht vom 22. zum 23. brachte dem Südwesten Blitzeis, das in Baden-Württemberg über 300 Autounfälle verursachte!

Tiefdruckminima wurden außerdem am 4./5. erreicht mit Sonne 72° absteigender Mondknoten und Venus 72° absteigender Mondknoten, sowie am 11. mit dem starken Tiefdruckaspekt Varuna 150° Quaoar.

Das Luftdruckmaximum fand bei Uranus 180° Mondapogäum statt.

Die Auswertung der Wettersymbole zeigte einen hohen Anteil von 19 Tagen, an dem die Witterung nur tendenziell richtig angezeigt war. In der Regel war die Bewölkung dichter und stärker als das Symbol anzeigte.

SW-D befand sich an 14 Tagen im Einflussbereich antizyklonaler Strömung. Die Summe des prognostizierten Premeteo-Index für diese Tage ergab +90, das einer Indexzahl von +6,43 pro Tag entsprach.

An 17 Tagen befand sich SW-D im Einflussbereich zyklonaler Strömung. Die Summe des prognostizierten Premeteo-Index für diese Tage ergab -25, das einer Indexzahl pro Tag von -1,47 entsprach.

Die Prognose durch die Premeteo-Wettersymbole war an 5 Tagen falsch (am 12., 15., 19., 24. und 27.), an 7 Tagen richtig und an 19 Tagen tendenziell richtig.

04.02.2016

Januar 2016



Prognose für SW-Deutschland

Makemake befindet sich seit dem 21.9.2015 in Konjunktion mit dem Supergalaktischen Zentrum. Am 5./6. gibt es nacheinander 5 Venus-T-Aspekte, die starken Niederschlag bedingen könnten. Am 21./22. wird durch die Venus-GaZ-Konjunktion der unbekannte Aspekt Nep 72° GaZ ausgelöst. Makemake-Aspekte, die vom Index3-Programm nicht ausgewiesen wurden, wurden per Hand im Index 3 eingefügt.

01.01.2016

|  |                                    |   |   |  |  |  |                                    |                 |                 |                 |
|--|------------------------------------|---|---|--|--|--|------------------------------------|-----------------|-----------------|-----------------|
| Langsamläufer-Impulse  | H*                                 |   |   |  |  |  | H*                                 | H*              | 2H*             | Tf, T*          |
| Schnellläufer-Impulse  | H                                  | H, T  |   | T  | 4T, Hf, H  | Hf, T  | T                                  | Tf, H, T        | T               | 3T              |
| Temperaturimpulse  |                                    | W   |   | W  | 2K   | K  |                                    |                 | K               |                 |
| Premeteo-Index<br>-zyklonal, + antizyklonal<br>(Index 1+2+3)                   | 5                                  | -1  | 0   | -3   | -3   | -10  | -20                                | -2              | -2              | -11             |
| Pre.IX (ALTERNATIV)  |                                    |   |   |  |  |  |                                    |                 |                 |                 |
| Index 1 (12 - 12 UTC)<br>exakte Aspekte des Tages                              | 3                                  | -3  | 0   | -3   | -3   | 4  | -2                                 | -5              | 2               | -7              |
| Index 1 (ALTERNATIV)   |                                    |   |   |  |  |  |                                    |                 |                 |                 |
| Symmetrien (0 - 0 UTC)   |                                    | Mar 91 Var Mer (09) T<br>Hf T ?                 | Nep 45 Pal Eri (12) A*<br>? A* ?<br>Pal 8 Plu Mer (12) A* A<br>?<br>GaZ 16 Son Sat (12) T<br>--<br>Pal 89 Eri Hau (16) A*<br>A* ? ? 0 | Mar 7 Jun Hau (03) A<br>H ?<br>Eri 136 Ven Orc (18) A<br>? T ? | Orc 136 Pal Eri (12)<br>A* ? A* ?<br>Ven 90 Nep Orc (18)<br>TK T ? ? | Ven 37 Son Mar (03)<br>H W 0<br>Ven 37 Mar Plu (03)<br>T-14<br>Pal 121 Jup Sed (05)<br>A* A* H*+7<br>Ven 45 Pal Hau (13) A<br>T A* -7<br>Plu 36 Ven Cer (14)<br>T-<br>Hau 46 Ven Orc (22) T<br>T* T-14 | Ves 150 Jun Orc (20)<br>A* H* H*+7 |                 |                 |                 |
| Index 2 (12 - 12 UTC)  | 0                                  | 0   | 0   | 0  | 0  | -14  | -14                                | 7               | 0               | 0               |
| Index 2 ALTERNATIV   |                                    |   |   |  |  |  |                                    |                 |                 |                 |
| ausgelöste LL-Aspekte  | Ven 60 Mak H +2                    | Ven 60 Mak H +2                                 |   |  |  |  | Mar 30 Mak T -4                    | Mar 30 Mak T -4 | Mar 30 Mak T -4 | Mar 30 Mak T -4 |
| Index 3 (Summe)  | 2                                  | 2   | 0   | 0  | 0  | 0  | -4                                 | -4              | -4              | -4              |
| Index 3 ALTERNATIV   |                                    |   |   |  |  |  |                                    |                 |                 |                 |
| Symbol-Prognose  | 3                                  | 3   | 3   | 3  | 3  | 5  | 3                                  | 3               | 3               | 5               |
| Symbol-Prognose altern.  | 3                                  | 3   | 3   | 3  | 3  | 5  | 3                                  | 3               | 3               | 5               |
| Wochentag  | Fr                                 | Sa  | So  | Mo   | Di   | Mi   | Do                                 | Fr              | Sa              | So              |
| Datum  | 1                                  | 2   | 3   | 4  | 5  | 6  | 7                                  | 8               | 9               | 10              |
| reale Wetterlage   | H1: H*, H/+5                       | T1: Tf*, 2T*, Tf, 20T - Hf*, 6H*, 3Hf, 9H / -31 |   |  |  |  |                                    |                 |                 |                 |
| Luftdruck (hpa) 06 UTC   | 1028,1                             | 1014,6  | 1012,2  | 993,3  | 995,5  | 999,6  | 1000,6                             | 1008,6          | 1004,9          | 999             |
| mittl. Temp. (°C)  | 4,7                                | 5,5   | 4,9   | 6,5  | 6,8  | 5,9  | 6,1                                | 6               | 5,7             | 7,1             |
| Sonnenscheindauer (h)  | 0                                  | 0   | 0,4   | 0,4  | 0,9  | 0  | 0,5                                | 2               | 0               | 0               |
| Niederschlag (Liter)   | 1,1                                | 5,4 / 8   | 7,4 / 16  | 2,6 / 16   | 0,7 / 3  | 4,9 / 3  | 6,6 / 9                            | 2,4 / 2         | 2 / 0,5         | 7 / 5           |
| Bodenwetterlage 00 UTC<br>(Kernlage des Druckgebiets,<br>das SW-D beeinflusst) | H-Zone mit Kernen<br>über Iber u F | T s Irlands                                     | T ü SO-GB,<br>T ü GG  | T w Irland   | T ü GB   | T ü GB,<br>T ü MmR   | T ü Irland,<br>T ü O-Balkan        | T ü Nsee        | T ü S-F         | T ü GB          |
| Bodenströmung 12 UTC<br>zyklonal (z), antizyklonal (a)                         | a                                  | z   | z   | z  | z  | z  | z                                  | a-z             | fl z            | z               |
| Strömung auf 500 hpa<br>00 UTC   | WSW fl z                           | SW a  | NW z  | SW fl z  | WSW fl a   | SW z   | NW a-z                             | W a-z           | WSW fl a        | SW a-z          |
| zutreffende Wettersymbole  | 5 hr                               | 5 hr  | 5 hr  | 5 hr   | 5 hr   | 5 r  | 5 r                                | 2-5 r           | 5 hr            | 5 r             |

Übertrag  
Index 1: -4  
Index 2: 0

|  |                    |               |               |                   |                   |                    |                   |                    |                    |               |
|--|--------------------|---------------|---------------|-------------------|-------------------|--------------------|-------------------|--------------------|--------------------|---------------|
|  | 00:21              | 05:41         | 14:10         | 08:43             | 04:22             | 01:06              | 00:00             | 00:15              | 04:12              | 05:34         |
|  | <b>CER 144 KN1</b> | SON 72 MAR    | VEN 72 JUP    | JUP 120 PAL       | VEN 120 VES       | MAR 144 KN2        | NEP 120 JUN       | PAL 120 SED        | <b>VEN 0 SAT</b>   | PLU 90 APO    |
|  | WAS 19°36'31"      | STE 11°14'31" | SCH 05°12'14" | JUN 23°12'52"     | SCH 07°08'28"     | SKO 01°20'32"      | FIS 07°41'43"     | STE 24°33'45"      | SCH 12°00'37"      | STE 15°22'05" |
|  | JUN 25°36'31"      | WAA 29°14'32" | JUN 23°12'15" | STE 23°12'52"     | WID 07°08'27"     | FIS 25°20'32"      | SKO 07°41'43"     | STI 24°33'45"      | SCH 12°00'38"      | WAA 15°22'05" |
|  | H* +5              | H W ---       | A             | A*                | A                 | A                  | A*                | A*                 | AK                 | A*            |
|  | 04:29              | 06:36         | 18:17         | 09:12             | 07:02             | 03:29              | 02:06             | 01:01              | 06:12              | 06:06         |
|  | VEN 60 GSZ         | SON 30 SAT    | PAL 135 ORC   | <b>SON 72 KN2</b> | VEN 30 JUN        | <b>SON 0 PLU</b>   | NEP 30 VES        | <b>JUN 60 ORC</b>  | <b>JUP 45 JUN</b>  | VEN 135 VAR   |
|  | SCH 02°17'01"      | STE 11°16'51" | STE 22°59'32" | STE 13°25'48"     | SCH 07°16'35"     | STE 15°13'34"      | FIS 07°41'51"     | SKO 07°56'49"      | JUN 23°14'11"      | STE 13°19'42" |
|  | WAA 02°17'00"      | SCH 11°16'52" | JUN 07°59'31" | FIS 25°25'48"     | SKO 07°16'35"     | STE 15°13'35"      | WID 07°41'52"     | JUN 07°56'49"      | SKO 08°14'11"      | KRE 28°19'41" |
|  | A                  | T-3           | A*            | T W -3            | T-2               | Hf K +9            | A*                | H* +5              | H* +5              | T-2           |
|  | 15:59              | 15:54         |               |                   | 07:13             | 09:23              | 10:30             | 09:42              | 14:38              | 12:24         |
|  | VEN 60 FY9         | NEP 45 PAL    |               | CHI 144 EL6       | VEN 45 EL6        | VES 150 JUN        | CER 60 ERI        | <b>PAL 120 KN1</b> | MER 45 VEN         |               |
|  | SCH 02°51'55"      | FIS 07°35'09" |               | FIS 17°36'24"     | SCH 08°36'50"     | WID 07°48'05"      | WAS 22°18'21"     | STE 25°09'12"      | STE 28°38'58"      |               |
|  | WAA 02°51'55"      | STE 22°35'09" |               | WAA 23°36'24"     | WAA 23°36'49"     | SKO 07°48'05"      | WID 22°18'21"     | JUN 25°09'12"      | SCH 13°38'57"      |               |
|  | H+2                | A*            |               | A*                | T-4               | A*                 | A*                | Hf +5              | T K -1             |               |
|  | 22:08              |               |               | 07:39             | 14:04             | 12:11              | 13:42             | 17:26              | 20:38              |               |
|  | <b>PAL 90 ERI</b>  |               |               | VEN 135 ERI       | GaZ 72 APO        | VEN 72 CER         | MAR 135 CHI       | MAR 72 PLU         | <b>VAR 150 QUA</b> |               |
|  | STE 22°18'43"      |               |               | SCH 07°18'27"     | SCH 26°57'42"     | SCH 09°58'32"      | SKO 02°43'21"     | SKO 03°21'02"      | KRE 28°18'58"      |               |
|  | WID 22°18'44"      |               |               | WID 22°18'28"     | WAA 14°57'42"     | WAS 21°58'32"      | FIS 17°43'21"     | STE 15°21'02"      | SCH 28°18'58"      |               |
|  | A*                 |               |               | A*                | A*                | T-2                | Tf -10            | T-8 ↑              | Tf -11             |               |
|  |                    |               |               | 09:02             | 19:17             | 12:23              | 14:16             |                    | 20:39              |               |
|  |                    |               |               | <b>VEN 72 KN1</b> | <b>VEN 45 PAL</b> | <b>SON 90 URA</b>  | <b>SON 60 CHI</b> |                    | <b>MER 180 VAR</b> |               |
|  |                    |               |               | SCH 07°22'40"     | SCH 09°07'00"     | STE 16°37'26"      | STE 17°43'24"     |                    | STE 28°18'58"      |               |
|  |                    |               |               | JUN 25°22'39"     | STE 24°06'60"     | WID 16°37'26"      | FIS 17°43'24"     |                    | KRE 28°18'58"      |               |
|  |                    |               |               | T K -4            | A                 | A                  | H +3              |                    | T-4 ↑              |               |
|  |                    |               |               | 10:14             |                   | 18:25              | 19:33             |                    | 20:39              |               |
|  |                    |               |               | PAL 90 EL6        |                   | MAR 30 GSZ         | MAR 30 FY9        |                    | MER 30 QUA         |               |
|  |                    |               |               | STE 23°36'27"     |                   | SKO 02°17'04"      | SKO 02°51'18"     |                    | STE 28°18'58"      |               |
|  |                    |               |               | WAA 23°36'27"     |                   | WAA 02°17'04"      | WAA 02°51'18"     |                    | SCH 28°18'58"      |               |
|  |                    |               |               | A*                |                   | A                  | T-8 ↑             |                    | A                  |               |
|  |                    |               |               | 12:02             |                   | 22:21              |                   |                    | 21:22              |               |
|  |                    |               |               | MER 90 MAR        |                   | <b>VEN 150 ORC</b> |                   |                    | <b>JUP 150 CER</b> |               |
|  |                    |               |               | WAS 01°02'37"     |                   | WID 07°56'54"      |                   |                    | JUN 23°13'35"      |               |
|  |                    |               |               | SKO 01°02'36"     |                   | JUN 07°56'53"      |                   |                    | WAS 23°13'35"      |               |
|  |                    |               |               | Hf +7             |                   | H* +5              |                   |                    | T* ---             |               |
|  |                    |               |               | 14:35             |                   |                    |                   |                    |                    |               |
|  |                    |               |               | VEN 90 NEP        |                   |                    |                   |                    |                    |               |
|  |                    |               |               | SCH 07°39'34"     |                   |                    |                   |                    |                    |               |
|  |                    |               |               | FIS 07°39'33"     |                   |                    |                   |                    |                    |               |
|  |                    |               |               | T K -4            |                   |                    |                   |                    |                    |               |
|  |                    |               |               | 19:12             |                   |                    |                   |                    |                    |               |
|  |                    |               |               | <b>SON 90 APO</b> |                   |                    |                   |                    |                    |               |
|  |                    |               |               | STE 14°52'27"     |                   |                    |                   |                    |                    |               |
|  |                    |               |               | WAA 14°52'27"     |                   |                    |                   |                    |                    |               |
|  |                    |               |               | H +3              |                   |                    |                   |                    |                    |               |
|  |                    |               |               | 20:43             |                   |                    |                   |                    |                    |               |
|  |                    |               |               | VEN 90 ORC        |                   |                    |                   |                    |                    |               |
|  |                    |               |               | SCH 07°58'15"     |                   |                    |                   |                    |                    |               |
|  |                    |               |               | JUN 07°58'14"     |                   |                    |                   |                    |                    |               |
|  |                    |               |               | T -4              |                   |                    |                   |                    |                    |               |

Januar 2016



Prognose für SW-Deutschland

Makemake befindet sich seit dem 21.9.2015 in Konjunktion mit dem Supergalaktischen Zentrum.  
Am 5./6. gibt es nacheinander 5 Venus-T-Aspekte, die starken Niederschlag bedingen könnten.  
Am 21./22. wird durch die Venus-GaZ-Konjunktion der unbekannte Aspekt Nep 72° GaZ ausgelöst.  
Makemake-Aspekte, die vom Index3-Programm nicht ausgewiesen wurden, wurden per Hand im Index 3 eingefügt.

|   |   |   |  |  |  |  |  |  |               |   |
|---|---|---|--|--|--|--|--|--|---------------|---|
| Langsamläufer-Impulse   |   | H*  | A?*  | T*, H*   |  |  | H*   | H*   |               |   |
| Schnellläufer-Impulse   | T, 2H   |   | H, T   | Hf, T, H   | H, T   | T  | H, 2T  | 2T   | H             | Hf, H   |
| Temperaturimpulse   | W?  | K?  | 2W, K?*  | W, K?  | W  | K  |  | W, K   | W, K          | K, K?   |
| Premeteo-Index -zyklonal, + antizyklonal (Index 1+2+3)                    | -8  | 11  | -3   | 12   | 12   | -1   | -2   | 10   | 17            | 13  |
| Pre.IX (ALTERNATIV)   | -26   |   |  |  |  |  |  |  |               | -5  |
| Index 1 (12 - 12 UTC) exakte Aspekte des Tages                            | -13   | 2   | -1   | 12   | 2  | -1   | -2   | -2   | 12            | 8   |
| Index 1(ALTERNATIV)   |   |   |  |  |  |  |  |  |               |   |
| Symmetrien (0 - 0 UTC)  | Ves 46 Sed Cer (05) A*<br>H* T 0/-7<br>Jun 36 Ven Mak (06) H<br>H +7<br>Son 5 Plu Pal (10) HF K<br>A +7/0 | Jun 37 Ven GSZ (00)<br>T ---<br>Son 6 Plu Mer (01) HF K<br>H +7<br>GSZ 166 Ura Chi (15)<br>H* (8/3) --- | Jup 151 Eri Cer (05)<br>A* T* A* 0<br>Son 89 Eri Hau (18) A<br>T ? -7<br>Mer 2 Son Pal (19) H<br>A --- | Nep 44 Son Eri (06)<br>A* A* ?<br>Son 121 Jup Sed<br>(14) A W H H* ---<br>Nep 44 Eri Mer (20)<br>? T A ? | Mer 89 Eri Hau (05)<br>A A ? 0<br>Ven 7 Sat GSZ (13)<br>AK A ---<br>Son 2 Pal Mer (15) A<br>H +7 | Mer 6 Plu Pal (07) H<br>A ---<br>Chi 23 Ves Cer (17)<br>H ---<br>Mer 5 Son Plu (21) H<br>H --- |  | Ura 6 Ves Eri (12) A*<br>A* ?<br>Var 180 Son Pal (13) A<br>H* +7 |               | GaZ 2 Ven Qua (02)<br>A ? -7 ?<br>Sed 149 Ven Hau<br>(02) H ? A ? |
| Index 2 (12 -12 UTC)  | 7   | 7   | -7   | 0  | 7  | 0  | 0  | 7  | 0             | 0   |
| Index 2 ALTERNATIV  | -7  |   |  |  |  |  |  |  |               | -7  |
| ausgelöste LL-Aspekte   | Ven 72 GSZ T-2<br>wegen Index 2:<br>Mar 72 Plu T -4   | Ven 72 Mak H +2   | Pal 30 GaZ H5  |  | Son 120 Sed H3   |  |  | Pal 30 Qua H5  | Pal 30 Qua H5 | Pal 30 Qua H5<br>wegen Index2:<br>Varuna 150°Quaar<br>T -11       |
| Index 3 (Summe)   | -2  | 2   | 5  | 0  | 3  | 0  | 0  | 5  | 5             | 5   |
| Index 3 ALTERNATIV  | -6  |   |  |  |  |  |  |  |               | -6  |
| Symbol-Prognose   | 3   | 3   | 3  | 2  | 2  | 3  | 3  | 2  | 2             | 2   |
|   | 5   | 3   | 3  | 2  | 2  | 3  | 3  | 2  | 2             | 3   |
| Wochentag   | Mo  | Di  | Mi   | Do   | Fr   | Sa   | So   | Mo   | Di            | Mi  |
| Datum   | 11  | 12  | 13   | 14   | 15   | 16   | 17   | 18   | 19            | 20  |
| reale Wetterlage  |   |   |  |  |  |  |  | H2: 5H*, HF, 10H - Tf, 6T / +85                                  |               |   |
| Luftdruck (hpa) 06 UTC  | 993,6   | 999,5   | 1013,3   | 1015,2   | 1012,7   | 1022,6   | 1023,9                                       | 1023,4   | 1016,4        | 1020,2  |
| mittl. Temp.(°C)  | 6,9   | 5,9   | 4,5  | 2,5  | 2,1  | 1,2  | -0,6   | -4,1   | -3,3          | -5  |
| Sonnenscheindauer (h)   | 0,5   | 1,1   | 0  | 5,2  | 0  | 0,8  | 2,7  | 6,1  | 0             | 0   |
| Niederschlag (Liter)  | 11,4/ 17  | 6,9/ 4  | 0,1/ 3   | 2,2  | 1,2/ 10  | 2,6/ 4   | 0,8/ 5                                       | 0  | 0             | 0,2   |
| Bodenwetterlage 00 UTC (Kernlage des Druckgebietes, das SW-D beeinflusst) | T ü SW-F,<br>T ü Schottl  | T ü Nsee,<br>T ü Polen  | T ü N-D - Däne,<br>H ü Iber  | H ü Alpen,<br>T ü GB,<br>T ü Biskaya   | T ü NL,<br>T ü Italien   | T ü Nsee,<br>T ü O-Eu,<br>H ü O-Atl  | schmale T-Zone zw<br>H ü Bisk u H ü<br>Polen | H ü D  | H ü Österr    | H ü Ärmel,<br>fl T-Welle ü F u S<br>D                             |
| Bodenströmung 12 UTC zyklonal (z), antizyklonal (a)                       | a-z   | fl a  | a  | z  | fl z   | a-z  | a-z  | fl z   | a-z           | a   |
| Strömung auf 500 hpa 00 UTC   | SW fl z   | W z   | W z  | NW a-z   | W z  | NNO z  | NNW z  | NNW a-z  | NW a-z        | NW z  |
| zutreffende Wettersymbole   | 5 hr  | 5 f   | 5 hr   | 3 hr   | 5 f  | 5 hr   | 5 hr   | 2-3 r  | 5 f           | 2-5 hr  |

|   |       |   |       |   |       |  |       |   |       |  |       |   |       |   |       |   |       |   |       |
|---|-------|---|-------|---|-------|--|-------|---|-------|--|-------|---|-------|---|-------|---|-------|---|-------|
| VEN 72 GSZ<br>SCH 14*1705*<br>WAA 02*1706*<br>T-2     | 00:53 | CER 120 EL6<br>WAS 23*38*32*<br>WAA 23*38*31*<br>H* ---       | 00:11 | VEN 120 URA<br>SCH 16*41*45*<br>WID 16*41*44*<br>H W +2 | 00:12 | VEN 90 CHI<br>SCH 17*55*60*<br>FIS 17*55*58*<br>A W    | 00:28 | MER 120 JUP<br>STE 23*09*40*<br>STE 21*47*14*<br>SKO 09*47*12*<br>A | 02:16 | MER 72 JUN<br>STE 21*47*14*<br>SCH 22*10*58*<br>KRE 28*10*59*<br>H --- | 03:25 | VEN 144 VAR<br>SCH 22*10*58*<br>KRE 28*10*59*<br>A      | 11:43 | MAR 60 ORC<br>SKO 07*49*10*<br>WAS 02*1709*<br>WAA 02*1709*<br>A* | 01:50 | CER 144 GSZ<br>WAS 26*17*09*<br>SCH 25*38*57*<br>SKO 10*38*56*<br>HF K +8 | 01:09 | VEN 45 JUN<br>SCH 25*38*57*<br>SKO 10*38*56*<br>HF K +8 | 07:32 |
| VEN 72 FY9<br>SCH 14*50*45*<br>WAA 02*50*47*<br>H --- | 11:54 | VEN 60 APO<br>SCH 15*34*31*<br>WAA 15*34*31*<br>A K?          | 02:13 | SON 90 ERI<br>STE 22*18*21*<br>WID 22*18*22*<br>A       | 02:09 | MER 120 SED<br>STE 24*31*50*<br>STI 24*31*52*<br>A*    | 01:22 | CER 150 KN1<br>WAS 24*51*17*<br>JUN 24*51*17*<br>A*                 | 06:00 | JUN 45 KN1<br>SKO 09*48*12*<br>JUN 24*48*12*<br>A*                     | 05:17 | VEN 120 ERI<br>SCH 22*18*37*<br>JUN 23*04*33*<br>T K -4 | 14:13 | VEN 90 JUP<br>SCH 22*18*37*<br>JUN 23*04*33*<br>T K -4            | 05:12 | SON 30 QUA<br>STE 28*31*06*<br>SCH 28*31*07*<br>A                         | 04:32 | CER 144 FY9<br>WAS 26*47*53*<br>WAA 02*47*53*<br>A*     | 09:36 |
| SON 72 JUN<br>STE 20*46*45*<br>SKO 08*46*45*<br>A     | 14:12 | MER 30 GaZ<br>STE 26*57*44*<br>SCH 26*57*44*<br>H +1          | 02:38 | VES 45 SED<br>WID 09*32*08*<br>STI 24*32*08*<br>A*      | 02:36 | MER 30 CER<br>STE 24*26*06*<br>WAS 24*26*05*<br>HF +7  | 03:07 | SON 120 SED<br>STE 24*31*32*<br>STI 24*31*32*<br>H +3               | 06:26 | MER 30 VEN<br>STE 21*08*50*<br>SCH 21*08*48*<br>T K -1                 | 15:26 | SON 30 GaZ<br>STE 26*57*47*<br>SCH 26*57*46*<br>A       | 15:52 | MAR 120 NEP<br>SKO 08*01*20*<br>FIS 08*01*20*<br>A W              | 11:04 | MER 60 CHI<br>STE 18*09*19*<br>FIS 18*09*19*<br>A W                       | 06:31 | SAT 135 VAR<br>SCH 13*07*22*<br>KRE 28*07*22*<br>A*     | 11:31 |
| MER 45 SAT<br>STE 27*16*54*<br>SCH 12*16*55*<br>A     | 19:57 | MER 0 PAL<br>STE 26*17*07*<br>STE 26*17*06*<br>A              | 16:15 | SON 45 NEP<br>STE 22*52*45*<br>FIS 07*52*44*<br>A       | 15:39 | CER 90 SED<br>WAS 24*31*46*<br>STI 24*31*46*<br>T* -5  | 09:11 | MER 45 NEP<br>STE 22*55*34*<br>FIS 07*55*34*<br>T -1                | 06:32 | SAT 45 PAL<br>SCH 12*45*46*<br>STE 27*45*46*<br>A*                     | 16:35 | PAL 180 VAR<br>STE 28*10*35*<br>KRE 28*10*35*<br>H* +10 | 19:36 | MAR 45 JUP<br>SKO 08*03*54*<br>JUN 23*03*54*<br>T -4              | 13:01 | VEN 150 SED<br>STE 24*30*32*<br>STI 24*30*31*<br>H +2                     | 09:14 | SON 72 VES<br>STE 29*58*48*<br>WID 11*58*48*<br>A       | 15:00 |
| MER 72 VES<br>STE 27*10*02*<br>WID 09*10*03*<br>H +1  | 22:22 | SON 135 ORC<br>STE 22*52*45*<br>JUN 07*52*45*<br>T -3         | 15:39 | SON 90 EL6<br>STE 23*39*01*<br>WAA 23*39*01*<br>T K? -3 | 09:49 | MER 135 ORC<br>STE 22*51*26*<br>JUN 07*51*26*<br>A     | 07:47 | MER 72 MAR<br>STE 19*41*41*<br>SKO 07*41*40*<br>A                   | 20:09 | SON 45 SAT<br>STE 27*46*55*<br>SCH 12*56*55*<br>A                      | 16:35 | MER 72 MAR<br>STE 19*41*41*<br>SKO 07*41*40*<br>A       | 20:09 | SON 45 SAT<br>STE 27*46*55*<br>SCH 12*56*55*<br>A                 | 15:06 | SON 0 PAL<br>STE 28*46*15*<br>STE 28*46*15*<br>A K?                       | 10:29 | VEN 72 NEP<br>SCH 26*05*26*<br>FIS 08*05*27*<br>A K?    | 16:10 |
| VEN 30 PLU<br>SCH 15*25*42*<br>STE 15*25*41*<br>A W?  | 23:20 | NEP 180 ORC<br>FIS 07*52*45*<br>JUN 07*52*45*<br>A? (3/1) K?* | 15:47 | SAT 72 CER<br>SCH 12*32*22*<br>WAS 24*32*22*<br>A*      | 09:50 | SON 120 KN1<br>STE 24*50*15*<br>JUN 24*50*15*<br>A W   | 13:47 | VEN 45 MAR<br>SCH 22*45*21*<br>SKO 07*45*20*<br>T -4                | 22:56 | VEN 60 EL6<br>SCH 23*39*34*<br>WAA 23*39*35*<br>A                      | 16:37 | VEN 60 EL6<br>SCH 23*39*34*<br>WAA 23*39*35*<br>A       | 16:37 | VEN 90 KN1<br>SCH 24*37*50*<br>JUN 24*37*50*<br>A K               | 11:37 | MER 90 URA<br>STE 16*50*24*<br>WID 16*50*23*<br>H +1                      | 18:27 |   |       |
|   |       |   | 17:56 | MER 120 KN1<br>STE 24*56*03*<br>JUN 24*56*03*<br>A      | 12:23 | PAL 30 GaZ<br>STE 26*57*45*<br>SCH 26*57*45*<br>H* +11 | 17:48 | MER 90 ERI<br>STE 22*18*31*<br>WID 22*18*29*<br>A                   |       |  | 17:15 | PAL 30 QUA<br>STE 28*30*27*<br>SCH 28*30*27*<br>H* +10  | 19:59 | SON 180 VAR<br>STE 28*09*21*<br>KRE 28*09*21*<br>A                | 11:59 | CER 60 GaZ<br>WAS 26*57*47*<br>SCH 26*57*47*<br>A*                        | 22:14 |   |       |
|   |       |   | 22:51 | SON 120 JUP<br>STE 23*11*05*<br>JUN 23*11*04*<br>A W    | 14:06 | SON 0 MER<br>STE 23*49*56*<br>STE 23*49*55*<br>H +2    | 15:58 | SON 30 CER<br>STE 25*03*27*<br>WAS 25*03*27*<br>A                   |       |  |       |   |       |   |       | QUA 72 APO<br>SCH 28*33*34*<br>WAA 16*33*34*<br>A*                        |       |   |       |
|   |       |   |       | MER 90 EL6<br>STE 23*39*04*<br>WAA 23*39*05*<br>A       | 17:23 |  |       |   |       |  |       |   |       |   |       |   |       |   |       |

Januar 2016



Prognose für SW-Deutschland

Makemake befindet sich seit dem 21.9.2015 in Konjunktion mit dem Supergalaktischen Zentrum.  
 Am 5./6. gibt es nacheinander 5 Venus-T-Aspekte, die starken Niederschlag bedingen könnten.  
 Am 21./22. wird durch die Venus-GaZ-Konjunktion der unbekante Aspekt Nep 72° GaZ ausgelöst.  
 Makemake-Aspekte, die vom Index3-Programm nicht ausgewiesen wurden, wurden per Hand im Index 3 eingefügt.

|  |                          |   |   |  |               |  |   |                               |  |   |                                    |
|--|--------------------------|---|---|--|---------------|--|---|-------------------------------|--|---|------------------------------------|
| Langsamläufer-Impulse  |                          | H*  |   | H*   |               |  | 2H*                                     |                               |  |   |                                    |
| Schnellläufer-Impulse  | 2T                       | Tf, 2H  |   |  | H             | H  |   | H, T                          | H  | 2H, T   |                                    |
| Temperaturimpulse  | W                        | K   |   |  |               |  |   |                               |  | W   |                                    |
| Premeteo-Index<br>-zyklonal, + antizyklonal<br>(Index 1+2+3)                   | -3                       | -16   | -2  | 14   | 8             | 9  | 22                                      | 8                             | 3  | 2   | 6                                  |
| Pre.IX (ALTERNATIV)  |                          | -1  | 5   |  |               |  |   |                               |  |   |                                    |
| Index 1 (12 - 12 UTC)<br>exakte Aspekte des Tages                              | -3                       | -6  | 8   | 9  | 3             | 2  | 10                                      | 3                             | 3  | 2   | -1                                 |
| Index 1 (ALTERNATIV)   |                          | 2   |   |  |               |  |   |                               |  |   |                                    |
| Symmetrien (0 - 0 UTC)   |                          | Ven 1 Qua GaZ (01)<br>A A ? Wegen<br>Auflösung<br>Var 150 Qua Cer (10)<br>Tst A* A* -? / 0<br>Var 150 Ven Cer (15)<br>Tst A* A W -?/0 | Son 36 Nep GaZ<br>(04) A?*(1/2) ---                 | Qua 2 Ven GaZ (02)<br>A ? ?<br>Ven 67 Nep Hau (15)<br>? ---                |               | Orc 144 Pal Ves (13)<br>H* A* A* +?<br>Mak 150p Ura Chi<br>(20) H* (8/3) --- |   | Ven 9 GaZ Mer (22)<br>A A W ? | Ven 10 Plu GaZ (03)<br>Hst K A ?<br>Ven 8 Qua Mer (19)<br>A A W ?<br>Ven 9 Plu Qua (21)<br>Hst K A ? | Pal 36 Nep GaZ (04)<br>A?*(1/2) ?<br>Cer 45 Plu Ves (20)<br>A* H* A* +? | GaZ 44 Son Jun (17)<br>Hf H* A +14 |
| Index 2 (12 - 12 UTC)  | 0                        | -7  | -7  | 0  | 0             | 0  | 7                                       | 0                             | 0  | 0   | 7                                  |
| Index 2 ALTERNATIV   |                          | 0   | 0   |  |               |  |   |                               |  |   |                                    |
| ausgelöste LL-Aspekte  | Nep 72 GaZ A?*(1/2)<br>? | Son 120 GSZ H3<br>Jun 45 GaZ H5<br>Var 150 Qua T-11<br>Nep 72 GaZ A?*(1/2)<br>?   | Son 120 GSZ H3<br>Jun 45 GaZ H5<br>Var 150 Qua T-11 | Jun 45 GaZ H5<br>wegen Index2<br>Auslösung von<br>Nep 72 GaZ A?*(1/2)<br>? | Jun 45 GaZ H5 | Jun 45 GaZ H5<br>Ven 90 Mak H +2   | Jun 45 GaZ H5                           | Jun 45 GaZ H5                 |  |   |                                    |
| Index 3 (Summe)  | 0                        | -3  | -3  | 5  | 5             | 7  | 5                                       | 5                             | 0  | 0   | 0                                  |
| Index 3 ALTERNATIV   |                          |   |   |  |               |  |   |                               |  |   |                                    |
| Symbol-Prognose  | 3                        | 5   | 3   | 2  | 3             | 3  | 2                                       | 3                             | 3  | 3   | 3                                  |
| Wochentag  | Do                       | Fr  | Sa  | So   | Mo            | Di   | Mi                                      | Do                            | Fr   | Sa  | So                                 |
| Datum  | 21                       | 22  | 23  | 24   | 25            | 26   | 27                                      | 28                            | 29   | 30  | 31                                 |
| reale Wetterlage   |                          |   |   |  |               |  |   |                               |  |   | T2 - / +6                          |
| Luftdruck (hpa) 06 UTC   | 1026,3                   | 1030,7  | 1032,6  | 1036,1   | 1031,7        | 1028,9   | 1026,4                                  | 1022,5                        | 1032,9   | 1025,6  | 1017,5                             |
| mittl. Temp.(°C)   | -3,4                     | -3,4  | 4,5   | 3,8  | 5,3           | 9,5  | 11,8                                    | 9,3                           | 6,4  | 6,9   | 7,9                                |
| Sonnenscheindauer (h)  | 2,1                      | 3,2   | 2,9   | 0,1  | 8,1           | 6,9  | 0                                       | 0                             | 3,3  | 1,8   | 0                                  |
| Niederschlag (Liter)   | 0                        | 1,8 / 4   | 0   | 0  | 0             | 0  | 0                                       | 5,1 / 7                       | 0  | 12,2 / 10   | 1,9 / 4                            |
| Bodenwetterlage 00 UTC<br>(Kernlage des Druckgebiets,<br>das SW-D beeinflusst) | H ü F                    | H ü O-Eu  | T bei Island  | H ü SW-D   | H ü Tyrnm.H   | H ü O-F  | H ü N-Italien,<br>T ü Irland,<br>T ü Nm | T ü S-Skand,<br>H ü M-Italien | Azoren-H   | Azor-H,<br>T ü Nm   | T ü Nm                             |
| Bodenströmung 12 UTC<br>zyklonal (z), antizyklonal (a)                         | a                        | a-z   | a   | a  | a             | fl a   | fl a                                    | a                             | a  | fl a-z  | a-z                                |
| Strömung auf 500 hpa<br>00 UTC   | NW z                     | NW a-z  | W a   | NW a   | NW a          | SW a   | W a-z                                   | SW a                          | W a-z  | W a-z   | NW z                               |
| zutreffende Wettersymbole  | 2-3 r                    | 2-5 hr  | 5 hr  | 5 f  | 2 hr          | 2 hr   | 5 f                                     | 5 hr                          | 2-5 r  | 5 hr  | 5 hr                               |

|   |  |   |   |   |   |   |   |   |   |   |
|---|--|---|---|---|---|---|---|---|---|---|
| 02:51   | 07:10  | 08:58   | 03:32   | 05:56   | 01:16   | 08:56   | 02:58   | 01:49   | 01:25   | 13:21   |
| MER 90 APO<br>STE 16°34'51"<br>WAA 16°34'51"<br>T ---       | VEN 150 VAR<br>SCH 28°05'10"<br>KRE 28°05'10"<br>Tf K -8 / 0 | SON 120 FY9<br>WAS 02°46'34"<br>WAA 02°46'33"<br>A  | <b>URA 180 APO</b><br>WID 16°55'05"<br>WAA 16°55'05"<br>H*(10/2,5) +9 | SAT 120 VES<br>SCH 13°33'21"<br>WID 13°33'21"<br>A*     | MAR 45 GaZ<br>SKO 11°57'49"<br>SCH 26°57'49"<br>A   | <b>JUN 45 GaZ</b><br>SKO 11°57'50"<br>SCH 26°57'50"<br>H* +5  | SON 135 JUP<br>WAS 07°36'16"<br>JUN 22°36'17"<br>A    | PAL 120 GSZ<br>WAS 02°17'14"<br>WAA 02°17'14"<br>A*         | VEN 120 ORC<br>STE 07°37'59"<br>JUN 07°37'58"<br>A        | VEN 135 SED<br>STE 09°28'41"<br>STI 24°28'41"<br>A        |
| 08:14   | 08:54  | 17:03   | 06:10   | 06:47   | 02:16   | 09:29   | 04:23   | 05:46   | 05:59   | 14:15   |
| <b>MAR 45 KN1</b><br>SKO 09°31'56"<br>JUN 24°31'55"<br>T -4 | SON 144 ORC<br>WAS 01°45'22"<br>JUN 07°45'23"<br>A*          | CER 150 VAR<br>WAS 28°03'28"<br>KRE 28°03'28"<br>A* | VEN 144 SED<br>STE 00°29'34"<br>STI 24°29'35"<br>A                    | CER 60 QUA<br>WAS 28°39'31"<br>SCH 28°39'31"<br>A*      | VEN 90 FY9<br>STE 02°45'09"<br>WAA 02°45'10"<br>H+2 | <b>PAL 144 ORC</b><br>WAS 01°40'37"<br>JUN 07°40'37"<br>H* +5 | SON 150 ORC<br>WAS 07°39'52"<br>JUN 07°39'51"<br>H+3  | VEN 72 CHI<br>STE 06°37'29"<br>FIS 18°37'30"<br>A           | <b>MER 0 PLU</b><br>STE 16°02'32"<br>STE 16°02'32"<br>H+2 | <b>PLU 45 CER</b><br>STE 16°05'07"<br>FIS 01°05'07"<br>A* |
| 09:13   | 10:00  | 22:57   | 07:19   | 08:35   |   |   | 10:51   | 13:54   | 06:01   | 21:35   |
| <b>VEN 0 GaZ</b><br>SCH 26°57'46"<br>SCH 26°57'47"<br>A     | <b>MER 0 PLU</b><br>STE 15°47'04"<br>STE 15°47'03"<br>H +2   | SON 45 CHI<br>WAS 03°22'07"<br>FIS 18°22'08"<br>A   | VEN 30 PAL<br>STE 00°33'06"<br>WAS 00°33'06"<br>A                     | <b>MAR 0 JUN</b><br>SKO 11°36'28"<br>SKO 11°36'28"<br>A |   |   | VEN 72 EL6<br>STE 05°39'15"<br>WAA 23°39'16"<br>A     | MAR 45 QUA<br>SKO 13°45'09"<br>SCH 28°45'09"<br>A           | PAL 120 FY9<br>WAS 02°42'47"<br>WAA 02°42'47"<br>A*       | JUN 150 ERI<br>JUN 22°20'53"<br>WID 22°20'53"<br>A*       |
| 15:08   | 17:13  |   |   | 12:20   |   |   | 20:47   | 14:11   | 16:46   |   |
| VEN 60 CER<br>SCH 27°15'56"<br>WAS 27°15'56"<br>A W         | <b>VEN 0 QUA</b><br>SCH 28°36'02"<br>SCH 28°36'02"<br>A      |   |   | SON 72 URA<br>WAS 04°57'08"<br>WID 16°57'08"<br>H+3     |   |   | SON 30 NEP<br>WAS 08°21'31"<br>FIS 08°21'31"<br>T --- | <b>SON 135 KN1</b><br>WAS 09°05'42"<br>JUN 24°05'43"<br>H+3 | VEN 60 NEP<br>STE 08°25'15"<br>FIS 08°25'15"<br>H W +2    |   |
| 22:50   | 20:37  |   |   | 16:15   |   |   |   | 23:58   | 19:42   |   |
| SED 120 KN1<br>STI 24°29'59"<br>JUN 24°29'59"<br>A*         | VEN 72 APO<br>SCH 28°46'29"<br>WAA 16°46'29"<br>A            |   |   | VEN 144 ORC<br>WID 13°42'18"<br>JUN 07°42'17"<br>A*     |   |   |   | MAR 30 SAT<br>SKO 13°57'48"<br>SCH 13°57'48"<br>A           | SON 72 ERI<br>WAS 10°20'39"<br>WID 22°20'38"<br>T -3      |   |
|   | 21:25  |   |   | 17:11   |   |   |   |   |   |   |
|   | SON 120 GSZ<br>WAS 02°17'12"<br>WAA 02°17'11"<br>H +3        |   |   | VEN 90 GSZ<br>STE 02°17'13"<br>WAA 02°17'13"<br>A       |   |   |   |   |   |   |
|   | 21:49  |   |   |   |   |   |   |   |   |   |
|   | CER 45 VES<br>WAS 27°45'08"<br>WID 12°45'08"<br>H* +5        |   |   |   |   |   |   |   |   |   |



## Januar 2016: Fehlprognosen

| Datum | Vorzeichen<br>Symbol | Analyse   |
|-------|----------------------|---|
| 12.   | +11<br>5 f           | T Carolina über Nordsee und Tief Daniella über Polen. Symmetrie Sonne 6° Pluto Merkur Hf H ist nicht wirksam! <b>Einzelner positiver Tag.</b>   |
| 14.   | +12<br>hr            | Hoch über Alpen um 0 UTC. Um 0 UTC war der Luftdruck im Einklang mit dem Premeteo-Index über die Nulllinie gestiegen, fiel aber in den folgenden Stunden wieder rasch ab. Es gab sowohl starke H-Aspekt-Impulse wie Merkur 30° Ceres Hf und Pallas 30° GaZ Hf*, aber auch T-Aspekt-Impulse wie Ceres 90° Sedna T* und Sonne 90° Haumea T, verbunden mit der Konjunktion durch den rückläufigen Merkur. Die Konfrontation der gegensätzlichen Impulse war begleitet durch kräftige Schneefälle, die sich am 15. bei wieder leicht steigendem Luftdruck durch Tief Emma über den Niederlanden verstärkten.  |
| 15.   | +12<br>5 f           | Tief Emma über Niederlanden. Leichter Druckanstieg.   |
| 21.   | -3<br>2-5 r          | Hoch Claudius über Frankreich. <b>Flacher Index</b> und hoher positiver Index an den Vortagen. Starke Abkühlung der Luftmasse durch Schnee und NW-Höhenströmung.  |
| 22.   | -16<br>2 f           | Hoch Claudius über Osteuropa. Tief Iris kommt über dem Nordostatlantik nur langsam nach voran. Der Premeteo-Index hat einen Wert von -16 durch den Tf-Aspekt Venus 150° Varuna, der im Index 1 und in den Symmetrien auftritt, als auch im Index 3 Varuna 150° Quaoar T -11 auslöst. Aber die Sonne steht mit Sonne 120° GSZ H dagegen, dies macht sich auf 500 hpa bemerkbar, wo die Region in den Übergangsbereich zwischen der antizyklonalen Strömung im Westen und der zyklonalen Strömung im Nordosten geraten ist.   |
| 23.   | -2 / +5<br>5 hr      | Tief Iris bei Island. Um 0 UTC befand sich die Region unter einem Höhenkeil von Nordost-Afrika auf 500 hpa, während am Boden der Trog von Tief Iris, das seinen Kern nach Island zurückgezogen hatte, über ganz Deutschland reichte. Es kam in der Nacht vom 22. zum 23. zu Eisregen mit über 140 Autounfällen in Baden-Württemberg, aber schon die Mittag-Bodenkarte zeigte die Region im Isobarenfeld von Hoch Dietrich, das sich mit seinem Kern von der Biskaya nach Südwestdeutschland verlagerte. Am 23. hatte der Premeteo-Index einen Wert von -2, aber es gab einen <b>alternativen Index von +5 und auch Index 1 hatte +8 Punkte.</b> Zum 24. stieg der Premeteo-Index wieder steil an, was in Übereinstimmung war mit der Verstärkung der Hochdruckwetterlage. <b>Flacher Index.</b> |
| 31.   | +6<br>5 hr           | Tief Marita über Nordmeer. Flacher Index. Mit Venus 60° Neptun HW und Sonne 72° Eris T konnte Tief Marita weit nach Süden vorstoßen.  |